

# 빗방울의 형태에 따른 산란특성 해석 및 강우감쇠 계수 추정

## The Analysis of Scattering Characteristics of Raindrops and Estimation of Specific Rain Attenuation for Different Drop Shapes

황정환\* · 백정기\* · 김양수\*\* · 김영민\*\*\* · 최용석\*\* · 이주환\*\* · 박세경\*\*

Jung-Hwan Hwang\* · Jeong-Ki Pack\* · Yang-Su Kim\*\* · Young-Min Kim\*\*\* · Yong-Seok Choi\*\* · Joo-Hwan Lee\*\* · Se-Kyung Park\*\*

### 요 약

국내 환경에 대한 강우 감쇠량의 정확한 예측을 위해서는 실제의 빗방울 모양에 대한 산란특성을 알아야 한다. 본 논문에서는 근사이론모델을 사용하여 빗방울의 산란특성을 해석하고 세가지의 서로 다른 형태의 빗방울에 대한 산란계수 특성을 비교하였다. 또한 Pruppacher-Pitter의 실제 빗방울 모양을 사용하여 국내 환경에 적합한 강우감쇠 계수를 추정하고, 기존의 ITU-R 모델과의 차이를 비교 분석하였다.

### Abstract

To predict rain attenuation accurately, we must know scattering characteristics of rain-drops for real drop shapes. In this paper, the scattering characteristics of rain-drops are analyzed by an analytical model, and the differences in the characteristics of the forward scattering amplitudes for three different rain-drop shapes are compared. Using the results for the Pruppacher-Pitter's real rain-drop shape, the specific rain attenuation in domestic environment is predicted, and the difference from the ITU-R model is compared and analyzed.

### I. 서 론

무선통신시스템에서 시스템의 설계 및 성능계산을 위해서는 강우감쇠에 대한 정확한 정량적 예측이 필요하다. ITU-R에서 자국 모델이 없는 경우에 사용할 수 있도록 400 GHz까지 적용시킬 수 있는 강우감쇠에 대한 예측식이 주어져 있으나 국내 환경에 적용시켰을 때 상당한 오차가 예상되고, 또한 40

GHz 이상의 주파수 대역에서는 강우감쇠모델 자체에 문제가 있다<sup>[1]-[3]</sup>. 그리고 ITU-R 모델은 실제의 빗방울을 편구체로 근사한 이론모델과 Laws-Parsons의 빗방울 크기 분포에 기반을 두고 있다<sup>[4]</sup>.

국내에서는 강우감쇠에 대한 연구가 시작단계에 있으며, 국내 환경에 적합한 강우감쇠모델이 아직 없다. 국내 환경에 대한 강우감쇠량의 정확한 예측을 위해서는 실제의 빗방울 모양에 대한 주파수에 따른 정확한 산란특성의 해석이 선행되어야 한다. Prup-

\* 충남대학교 전파공학과(Dept. of Radio Science & Engineering, Chungnam Nat'l Univ.)

\*\* 한국전자통신연구원(ETRI)

\*\*\* 울산기능대학 정보통신과(Dept. of Information & Data Communication, Ulsan Polytechnic Collage.)

· 논문 번호 : 990826-07S

· 수정완료일자 : 1999년 9월 15일

pacher-Pitter(P-P)의 실제 빗방울의<sup>[5]</sup> 산란특성은 Ougchi 등이 point-matching기법을 사용하여 해석한 적이 있으나 강우감쇄계수의 계산에 사용될 수 있을 정도의 충분한 데이터가 주어지지 않고 또한 빗방울의 모양에 따른 강우감쇄계수의 차이도 분석하지 않았다<sup>[6]</sup>.

따라서 본 논문에서는 국내환경에 대한 강우감쇄 모델 개발의 일환으로 Pruppacher-Pitter의 실제 빗방울과 이를 근사한 편구체 모양에 대해 Morrison 등이 편구체 빗방울의 해석에 사용한 최소자승근사를 이용한 이론모델<sup>[7]</sup>을 사용하여 빗방울의 산란특성을 해석하고 빗방울의 형태에 따른 산란계수특성과 강우감쇄계수 특성을 비교하였다. 그리고 이전에 제안한 빗방울의 크기분포<sup>[8]</sup>를 토대로 국내 강우환경에 적합한 강우 감쇄계수를 추정하고 기존의 ITU-R 모델과의 차이를 비교, 분석하였다.

## II. 근사이론모델

빗방울이 종속도로 떨어질 때 빗방울의 모양은 구형이 아니며 공기의 압력으로 인해 그림 1과 같이 변형된다. 회전축을 지나는 단면의 모양이 그림 1과 같은 빗방울의 표면은

$$\Gamma = a_0(1 + \sum_{n=0}^{\infty} c_n \cos n\theta) \quad (1)$$

로 나타낼 수 있다<sup>[6]</sup>. 여기서  $a_0$ 는 실효반경, 즉 변형된 빗방울과 동일한 체적을 갖는 구체의 반경이며,  $c_n$ 은 변형상수를 나타낸다.

Pruppacher와 Pitter는 빗방울 표면 내외부에 대한 압력의 평형방정식을 이용하여 변형상수  $c_n$ 을 계산하는 방법을 고안하였다<sup>[5]</sup>. 실효반경이 0.25~3.25 mm인 빗방울에 대한 이론적인 모양은 그림 2와 같다.

그림 3처럼 전파상수가  $k_0$ 인 입사파의 진행방향이  $y$ 축에 수직이고  $z$ 축과  $\alpha$ 의 각도를 이룰 때 임의의 방향으로 편파된 입사파의 전계는 두 개의 편파

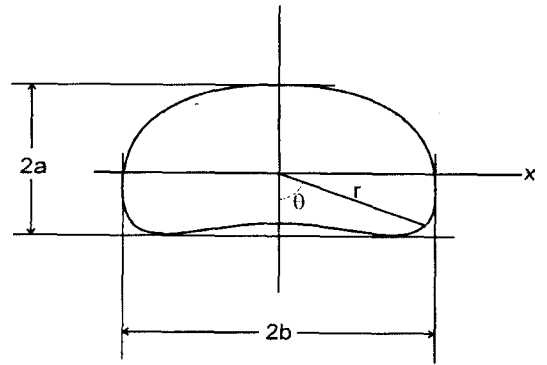


그림 1. 변형된 빗방울의 단면도  
Fig. 1. Cross-section of distorted rain-drop.

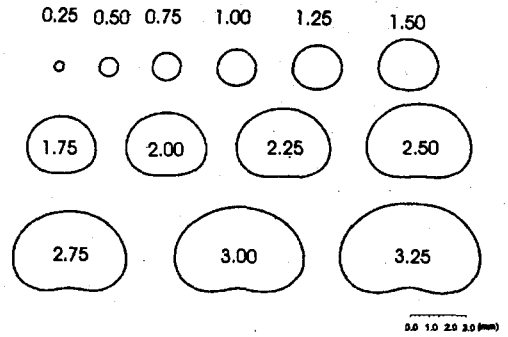


그림 2. Pruppacher-Pitter의 빗방울 모양  
Fig. 2. Pruppacher-Pitter's rain-drop shapes.

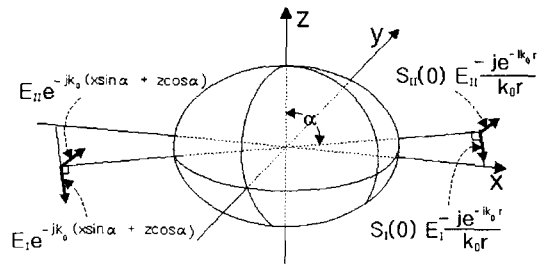


그림 3. 빗방울 산란에 대한 좌표축 및 편파  
Fig. 3. The coordinate axes and polarizations for the scattering by a rain-drop.

성분의 선형조합으로 나타낼 수 있다.  
즉,

$$\begin{aligned}
 \vec{E}_I^i &= E_I(\hat{x} \cos \alpha - \hat{z} \sin \alpha) \\
 &\cdot \exp[-jk_0(x \sin \alpha + z \cos \alpha)], \\
 \vec{H}_I^i &= \hat{y} \frac{k_0}{\omega \mu_0} E_I \\
 &\cdot \exp[-jk_0(x \sin \alpha + z \cos \alpha)], \quad (2) \\
 \vec{E}_{II}^i &= E_{II} \hat{y} \exp[-jk_0(x \sin \alpha + z \cos \alpha)], \\
 \vec{H}_{II}^i &= \frac{-k_0}{\omega \mu_0} E_{II}(\hat{x} \cos \alpha - \hat{z} \sin \alpha) \\
 &\cdot \exp[-jk_0(x \sin \alpha + z \cos \alpha)] \quad (3)
 \end{aligned}$$

경계조건 적용시의 편의를 위해 위의 입사평면파를  $\phi$ 에 대한 복소 Fourier 급수로 표현하면 다음과 같다.

$$\begin{aligned}
 \vec{E}^i &= \sum_{m=-\infty}^{\infty} \vec{e}_m(r, \theta) e^{-jm\phi}, \\
 \vec{H}^i &= \sum_{m=-\infty}^{\infty} \vec{h}_m(r, \theta) e^{-jm\phi} \quad (4)
 \end{aligned}$$

식 (2)와 (3)으로부터 두 편파에 대한 표현식은

$$\begin{aligned}
 \vec{e}_m^I(r, \theta) &= E_I \vec{f}_m(r, \theta), \\
 \vec{h}_m^I(r, \theta) &= E_I \frac{k_0}{\omega \mu_0} \vec{g}_m(r, \theta), \quad (5)
 \end{aligned}$$

$$\begin{aligned}
 \vec{e}_m^{II}(r, \theta) &= E_{II} \vec{g}_m(r, \theta), \\
 \vec{h}_m^{II}(r, \theta) &= -E_{II} \frac{k_0}{\omega \mu_0} \vec{f}_m(r, \theta), \quad (6)
 \end{aligned}$$

이고,  $\vec{f}_m$  과  $\vec{g}_m$  은 각각

$$\begin{aligned}
 \vec{f}_m(r, \theta) &= (-j)^m \exp(-jk_0 r \cos \alpha \cos \theta) \\
 &\cdot \left[ J_m(k_0 r \sin \alpha \sin \theta) \sin \alpha (\hat{\theta} \sin \theta - \hat{r} \cos \theta) \right. \\
 &\cdot j J'_m(k_0 r \sin \alpha \sin \theta) \cos \alpha (\hat{r} \sin \theta + \hat{\theta} \cos \theta) \\
 &\left. + \hat{\phi} \frac{m J_m(k_0 r \sin \alpha \sin \theta)}{k_0 r \sin \alpha \sin \theta} \cos \alpha \right] \quad (7)
 \end{aligned}$$

$$\vec{g}_m(r, \theta) = -(-j)^m \exp(-jk_0 r \cos \alpha \cos \theta)$$

$$\begin{aligned}
 &\cdot \left[ \frac{m J_m(k_0 r \sin \alpha \sin \theta)}{k_0 r \sin \alpha \sin \theta} \right] \\
 &\cdot (\hat{r} \sin \theta + \hat{\theta} \cos \theta) \\
 &- \hat{\phi} j J'_m(k_0 r \sin \alpha \sin \theta) \quad (8)
 \end{aligned}$$

으로 정의된 벡터함수이다. 위 식에서  $J_m$ 은  $m$ 차 제 1종 Bessel 함수이며  $J'_m$ 은 변수 전체에 대한 미분값을 나타낸다.

입사파에 의한 산란 및 투과 전자계는 다음과 같이 정의된 구형벡터파동함수  $\vec{M}_{mn}$ 과  $\vec{N}_{mn}$ 의 선형 조합으로 나타낼 수 있다.

$$\nabla \times \vec{M} = k \vec{N}, \quad \nabla \times \vec{N} = k \vec{M} \quad (9)$$

$$\begin{aligned}
 \vec{M}_{mn(k)} &= z_n(kr) e^{-jm\phi} \\
 &\cdot \left[ \frac{-jm}{\sin \theta} P_n^{|m|}(\cos \theta) \hat{\theta} - \frac{dP_n^{|m|}(\cos \theta)}{d\theta} \hat{\phi} \right] \quad (10)
 \end{aligned}$$

$$\begin{aligned}
 \vec{N}_{mn(k)} &= e^{jm\phi} \left\{ n(n+1) \frac{z_n(kr)}{kr} \right. \\
 &P_n^{|m|}(\cos \theta) \hat{r} + \left[ \frac{z_n(kr)}{kr} + z_n'(kr) \right] \\
 &\times \left[ \frac{dP_n^{|m|}(\cos \theta)}{d\theta} \hat{\theta} - \frac{jm}{\sin \theta} P_n^{|m|}(\cos \theta) \hat{\phi} \right] \left. \right\} \quad (11)
 \end{aligned}$$

여기서  $P_n^{|m|}$ 은 associated Legendre 다항식으로서

$$P_n^m(\cos \theta) = (-1)^m \sin^m \frac{d^m P_n(\cos \theta)}{d(\cos \theta)^m} \quad (12)$$

으로 정의된다. 그리고  $z_n$ 은  $n$ 차 구형 Bessel 함수로서 빗방울의 외부에서는 방사조건을 만족시키기 위해서 제 2종 구형 Hankel 함수  $h_n^{(2)}(kr)$ 로 주어지며, 빗방울 내부에서는 전자계의 크기가 유한하기 때문에 제 1종 구형 Bessel 함수  $J_n(kr)$ 로 주어진다. 또한  $m$ 은  $+$ 와  $-$ 의 값을 모두 가지는 정수이며  $n \geq |m|$  ( $n \neq 0$ )이어야 한다.

빛방울 외부에서 산란파의 전계와 자계는

$$\vec{E}^s = - \sum_{m=-\infty}^{\infty} \sum_{n \geq |m|, n \neq 0} [a_{mn} \vec{M}_{mn}(k_0) + b_{mn} \vec{N}_{mn}(k_0)] \quad (13)$$

$$\vec{H}^s = \frac{-jk_0}{\omega\mu_0} \sum_{m=-\infty}^{\infty} \sum_{n \geq |m|, n \neq 0} [a_{mn} \vec{N}_{mn}(k_0) + b_{mn} \vec{M}_{mn}(k_0)] \quad (14)$$

와 같이 나타낼 수 있으며, 여기서  $a_{mn}$  과  $b_{mn}$  은 미지의 모드전개 상수이다.

빛방울 내부의 투과전자계 역시 구형파동함수의 선형조합으로 나타내면

$$\vec{E}^t = - \sum_{m=-\infty}^{\infty} \sum_{n \geq |m|, n \neq 0} [c_{mn} \vec{M}_{mn}(k_1) + d_{mn} \vec{N}_{mn}(k_1)] \quad (15)$$

$$\vec{H}^t = \frac{-jk_1}{\omega\mu_0} \sum_{m=-\infty}^{\infty} \sum_{n \geq |m|, n \neq 0} [c_{mn} \vec{N}_{mn}(k_1) + d_{mn} \vec{M}_{mn}(k_1)] \quad (16)$$

로 주어지고,  $c_{mn}$ 과  $d_{mn}$ 은 미지의 모드전개 상수를 나타낸다.

빛방울의 표면을

$$r = R(\theta), \quad (0 \leq \theta \leq 2\pi, 0 \leq \phi \leq 2\pi) \quad (17)$$

라 할 때 임의의  $\theta$ 에 대한 접선방향의 벡터  $\vec{t}$ 는

$$\vec{t} = \hat{\theta} + \frac{1}{R} \frac{dR}{d\theta} \hat{r} \quad (18)$$

로 주어지므로 빛방울 표면에서의 경계조건은

$$E_\phi^i + E_\phi^s = E_\phi^t \quad (19)$$

$$H_\phi^i + H_\phi^s = H_\phi^t \quad (20)$$

$$E_\theta^i + E_\theta^s + \frac{1}{R} \frac{dR}{d\theta} (E_r^i + E_r^s) = E_\theta^t + \frac{1}{R} \frac{dR}{d\theta} E_r^t \quad (21)$$

$$H_\theta^i + H_\theta^s + \frac{1}{R} \frac{dR}{d\theta} (H_r^i + H_r^s) = H_\theta^t + \frac{1}{R} \frac{dR}{d\theta} H_r^t \quad (22)$$

로 주어진다.

식 (4), (13)~(16)에 대해 위의 경계조건을 적용하면 다음과 같다.

$$K_{mq}(\theta) - \sum_{n \geq m, n \neq 0} [a_{mn} A_{mnq}(\theta) + b_{mn} B_{mnq}(\theta) + c_{mn} C_{mnq}(\theta) + d_{mn} D_{mnq}(\theta)] = 0 \quad (23)$$

윗 식에서  $q=1, 2, 3, 4$ 에 대한  $K_{mq}$ 는

$$K_{m1}(\theta) = e_{m\phi}(R(\theta), \theta), \quad (24)$$

$$K_{m2}(\theta) = \frac{-j\omega\mu_0}{k_0} h_{m\phi}(R(\theta), \theta), \quad (25)$$

$$K_{m3}(\theta) = e_{m\theta}(R(\theta), \theta) + \frac{1}{R(\theta)} \frac{dR}{d\theta} e_{mr}(R(\theta), \theta), \quad (26)$$

$$K_{m4}(\theta) = \frac{-j\omega\mu_0}{k_0} \left[ h_{m\theta}(R(\theta), \theta) + \frac{1}{R(\theta)} \frac{dR}{d\theta} h_{mr}(R(\theta), \theta) \right] \quad (27)$$

로 주어진다.

최소자승근사방법은 식 (23)의 경계조건을 근사적으로 만족시키기 위해 주어진  $m$ 에 대해,  $\theta_{lm}$ , ( $l=1, \dots, L_m$ )에서의 자승오차의 가중자승합  $\Delta_m$ 을 최소화 시키는 것이다.

즉,

$$\Delta_m \equiv \sum_{q=1}^4 \omega_{mq} \sum_{l=1}^{L_m} |K_{mq}(\theta_{lm}) - \sum_{n=m, n \neq 0}^{N_m} [a_{mn} A_{mnq}(\theta_{lm}) + b_{mn} B_{mnq}(\theta_{lm}) + c_{mn} C_{mnq}(\theta_{lm}) + d_{mn} D_{mnq}(\theta_{lm})]|^2, \quad (m=0, \dots, M) \quad (28)$$

여기서  $\omega_{mq}$ 는 가중치이며  $\theta_{lm}$ 은  $0 \sim \pi$ 사이에서

적절히 선택된 점들이다. 본 논문에서는  $\omega_{mq}=1$ ,  $N_m-N_0$ , ( $m=0, 1, \dots, M$ )으로 두었다.

최소자승근사방법에 의해 모드 전개 상수들이 얻어지면 원거리장 영역에서의 전방산란 크기함수(forward scattering amplitude)는 다음 식과 Hankel 함수의 점근 표현식으로부터 구할 수 있다.

$$S_I(0) = \frac{1}{E_I} (\hat{x} \cos \alpha - \hat{z} \sin \alpha) \cdot \lim_{r \rightarrow \infty} \{ jk_0 r e^{jk_0 r} \vec{E}_I^s |_{\theta=\alpha, \phi=0} \} \quad (29)$$

$$S_{II}(0) = \frac{1}{E_{II}} \hat{y} \cdot \lim_{r \rightarrow \infty} \{ jk_0 r e^{jk_0 r} \vec{E}_{II}^s |_{\theta=\alpha, \phi=0} \} \quad (30)$$

### III. 해석결과

#### 3-1 빗방울 형태에 따른 강우입자의 산란특성

그림 4~6은 주파수가 12.25, 19.45, 40 GHz일 때의 구형(Mie), 편구형(Spheroid) 및 P-P빗방울의 크기에 따른 산란특성을 비교한 것이다. 여기서 12.25 GHz와 19.45 GHz는 우리나라 위성통신에 사용되는 주파수이며, 40 GHz는 ITU-R 모델을 적용시킬 수 있는 한계주파수이다. 그리고 구형 빗방울의 반경은 식 (1)에 주어진 실험반경  $a_0$ 이며, 편구형 빗방울의 단축  $a$ 와 장축  $b$ 의 축비  $\tau$ 는

$$\tau = a/b = 1 - 0.41a_0/4.5 \quad (31)$$

로 주어진다. 이때  $a$ 와  $b$ 는 각각  $a = a_0/\tau^{2/3}$ ,  $b = a_0/\tau^{1/3}$ 으로 주어진다.

빗방울의 반경이 증가하면 단축과 장축의 길이의 차이가 증가하므로 수평편파와 수직편파에 대한 산란계수(전방산란 크기함수)의 편차가 커진다. 그리고 주파수가 증가할수록 파장에 대한 상대적인 축간 길이 차이가 커지기 때문에 두 편파에 대한 산란계수의 편차도 역시 증가한다. 두 편파의 평균치와 구

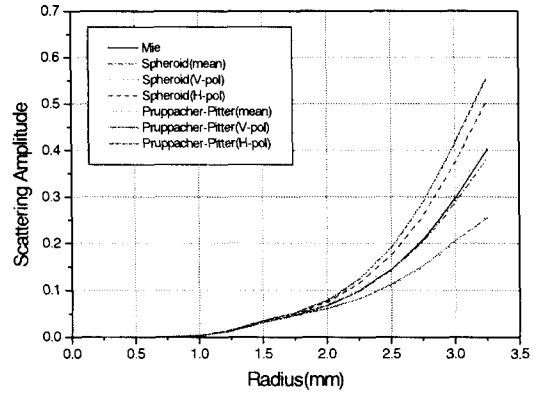


그림 4. 구형, 편구형 및 P-P빗방울의 반경에 따른 산란특성 ( $f = 12.25$  GHz)

Fig. 4. Scattering characteristics of spherical, elliptic, and P-P rain-drop as a function of radius ( $f = 12.25$  GHz).

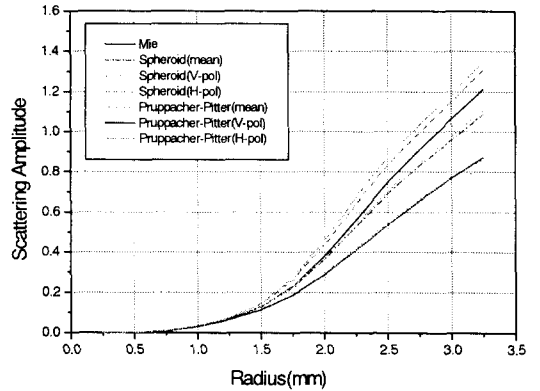


그림 5. 구형, 편구형 및 P-P빗방울의 반경에 따른 산란특성 ( $f = 19.45$  GHz)

Fig. 5. Scattering characteristics of spherical, elliptic, and P-P rain-drop as a function of radius ( $f = 19.45$  GHz).

형 빗방울의 산란계수를 비교해 보면 12.25 GHz인 경우에는 구형 빗방울의 산란계수는 평균치와 거의 같으나 19.45 GHz와 40 GHz인 경우에는 수평편파쪽으로 치우쳐져 있으며 주파수에 따라 그 차이가 증가한다. 또한 40 GHz인 경우를 제외하고는 편구형

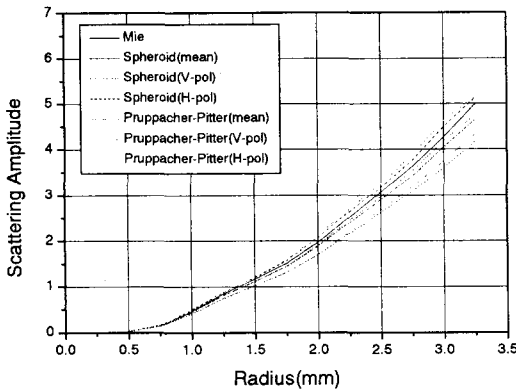


그림 6. 구형, 편구형 및 P-P 빗방울의 반경에 따른 산란특성 ( $f = 40 \text{ GHz}$ )

Fig. 6. Scattering characteristics of spherical, elliptic, and P-P rain-drop as a function of radius ( $f = 40 \text{ GHz}$ ).

빗방울과 P-P 빗방울의 수직편파에 대한 산란계수는 같고 수평편파의 경우는 약간의 편차를 보이고 있으며, 40 GHz 인 경우에는 두 편파에 대한 산란계수 모두가 편차를 보이고 있다.

### 3-2 빗방울 형태에 따른 강우감쇄계수 특성

본 절에서는 빗방울 형태에 따른 강우감쇄특성을 살펴보고 본 논문에서 제시한 강우감쇄계수 추정모델과 ITU-R 모델의 차이를 비교, 분석하고자 한다.

강우감쇄계수는 단위 길이당 강우감쇄량으로서

$$\gamma = 20 \log_e \times 10^3 \int_0^{\rho_m} \frac{2\pi}{k^2} \text{Re}\{S(0)\} N(D) dD \quad (32)$$

로 주어진다<sup>[4]</sup>. 여기서  $S(0)$ 는 전방산란 크기함수를 나타내며,  $N(D)$ 는 빗방울 크기 분포로서  $N(D)dD$ 는 직경이  $D(\text{mm})$ 와  $D+dD(\text{mm})$  사이에 분포하는 빗방울의 밀도( $\text{m}^3$ )이다. 위 식에 주어진 것과 같이 강우감쇄 계수는 빗방울의 크기분포의 함수이며 이 분포는 동일한 강우율에 대해서도 강우환경에 따라 다르다. 본 논문에서 빗방울 크기분포는 이전 논문

에서 국내 환경에 대해 밀리미터파대역까지 적용시킬 수 있는 모델로 제안한<sup>[8]</sup>

$$N(D) = N_0 e^{-\Lambda D}, \quad (\Lambda = 6.6R^{-0.33})$$

$$N_0 = 4.86R / [\Lambda^{-4} - (\Lambda + 0.582)^{-4}] \quad (33)$$

를 이용하였다. 위 식에서 은 단위시간당 강우량, 즉 강우율[mm/h]을 나타낸다.

그림 7~9는 12.25, 19.45, 40 GHz에서 구형(Mie), 편구형(Spheroid) 및 Pruppacher-Pitter 빗방울의 강우율에 따른 강우감쇄계수(Specific attenuation)를 보인 것이다. 강우율이 증가할수록 큰 빗방울의 영향이 커지므로 앞 절에서 언급한 바와 같이 수평과 수직편파에 대한 편차는 증가하고 있다. 또한 구형, 편구형 및 P-P 빗방울에 대한 강우감쇄계수의 평균차를 비교해 보면 12.25 GHz에서는 구형 빗방울 모델의 강우감쇄계수가 편구형이나 P-P 빗방울 모델에 비해 더 적으나 주파수가 증가할수록 그 레벨이 증가하여 40 GHz에서는 최대 1 dB/km 정도의 편차를 보인다. 그리고 편구형 빗방울과 Pruppacher-Pitter 빗방울의 강우감쇄계수는 40 GHz에서는 최대

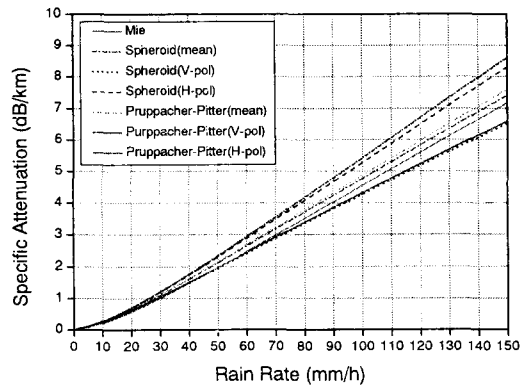


그림 7. 구형, 편구형 및 P-P 빗방울에 대한 강우율에 따른 강우감쇄계수 특성 ( $f = 12.25 \text{ GHz}$ )

Fig. 7. Characteristics of specific rain-attenuation for elliptic, and P-P rain-drop as a function of rain rate ( $f = 12.25 \text{ GHz}$ ).

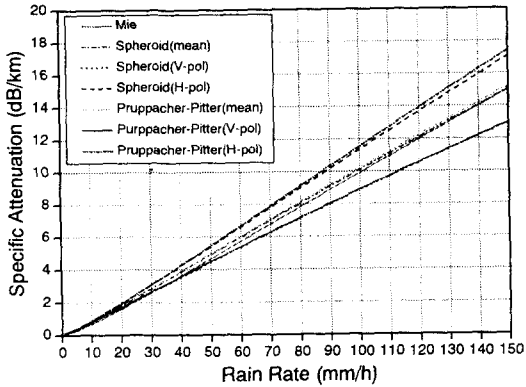


그림 8. 구형, 편구형 및 P-P빗방울에 대한 강우율에 따른 강우감쇠계수 특성( $f = 19.45$  GHz)  
 Fig. 8. Characteristics of specific rain-attenuation for elliptic, and P-P rain-drop as a function of rain rate( $f = 19.45$  GHz).

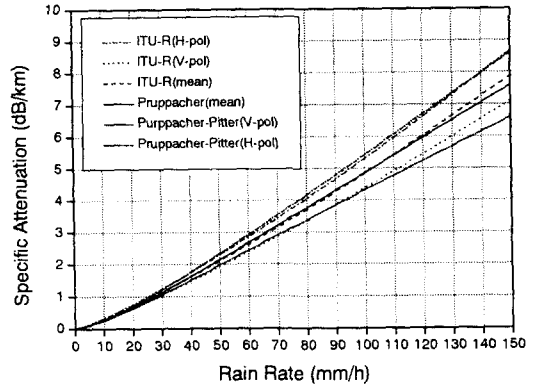


그림 10. ITU-R모델과 새로운 모델의 강우감쇠계수 특성( $f = 12.25$  GHz)  
 Fig. 10. Characteristics of specific rain-attenuation for ITU-R and new model( $f = 12.25$  GHz).

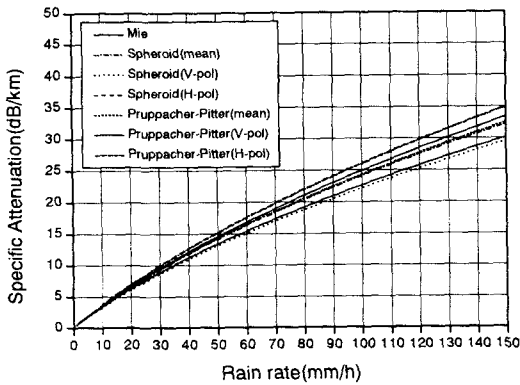


그림 9. 구형, 편구형 및 P-P빗방울에 대한 강우율에 따른 강우감쇠계수 특성( $f = 40$  GHz)  
 Fig. 9. Characteristics of specific rain-attenuation for elliptic, and P-P rain-drop as a function of rain rate( $f = 40$  GHz).

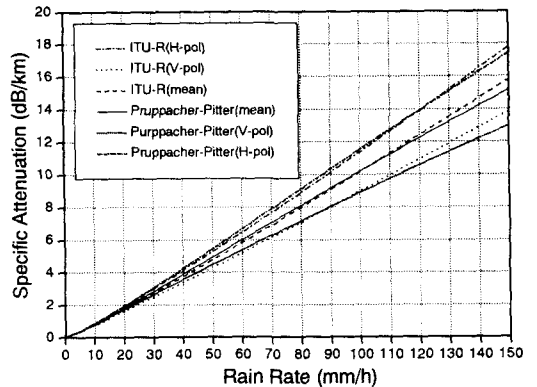


그림 11. ITU-R모델과 새로운 모델의 강우감쇠계수 특성( $f = 19.45$  GHz)  
 Fig. 11. Characteristics of specific rain-attenuation for ITU-R and new model( $f = 19.45$  GHz).

편차가 약 0.5 dB/km 정도이나 다른 주파수의 경우에는 그 편차가 무시 가능하다. 따라서 강우율이 그리 크지 않을 때는 근사적인 편구형 빗방울 모델을 사용하여도 무관할 것으로 판단된다.

그림 10~12는 12.25, 19.45, 40 GHz에서 Pruppacher-Pitter의 실제 빗방울 모양 및 국내 환경에 적

합한 빗방울 크기 분포를 사용한 본 논문의 강우감쇠 계수 측정모델과 편구형 빗방울 및 Laws-Parsons 분포를 사용한 ITU-R 모델의 강우감쇠 계수 추정치를 비교한 것이다. 주파수가 12.25 GHz와 19.45 GHz 인 경우 수평편파에 대한 특성은 큰 차이가 없으나 수직편파의 경우 최대편차가 12.25 GHz에서는 약 0.5 dB/km, 19.45 GHz에서는 약 1 dB/km 정도이다.

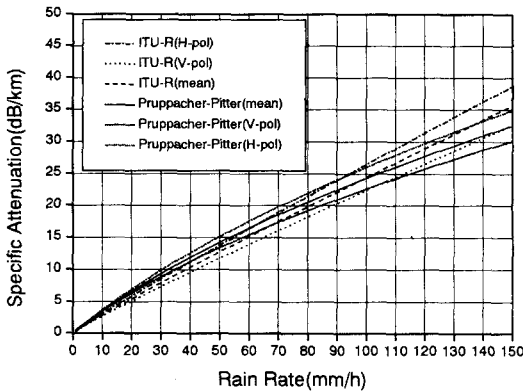


그림 12. ITU-R 모델과 새로운 모델의 강우감쇠계수 특성 ( $f = 40 \text{ GHz}$ )

Fig. 12. Characteristics of specific rain-attenuation for ITU-R and new model ( $f = 40 \text{ GHz}$ ).

하지만 주파수가 40 GHz인 경우 수직편파에 대해서는 최대편차가 약 3 dB/km, 수평편파에 대해서는 최대편차가 약 5 dB/km 정도이다. 두 모델사이의 편차는 주로 빗방울 크기 분포의 차이에 기인하는데 주파수가 증가하면 그 편차가 더 커져서 잘 알려진 바와 같이 ITU-R 모델을 적용시킬 수 없다<sup>[8]</sup>. 하지만 본 논문의 추정모델은 밀리미터파대역까지 적용 가능하다.

#### IV. 결 론

본 논문에서는 최소자승근사를 이용한 이론모델 사용하여 Pruppacher-Pitter의 실제 빗방울과 이를 근사한 편구체 빗방울 모양에 대한 산란특성을 해석하고 빗방울의 형태에 따른 산란계수 특성과 강우감쇠계수 특성을 비교하였다. 그리고 Pruppacher-Pitter의 빗방울에 의한 산란계수와 국내환경에 적합하며 밀리미터파 대역까지 적용 가능한 빗방울 크기분포를 사용한 강우감쇠계수 추정모델을 제시하고, ITU-R 모델과 강우감쇠계수의 차이를 비교, 분석하였다.

산란계수와 강우감쇠계수는 빗방울의 모양에 따

라 다소의 편차를 보이며 주파수가 증가할수록 그 편차는 커지나 강우율이 그리 크지 않을 때는 실제 모양의 Pruppacher-Pitter 빗방울 대신 근사적인 편구형 빗방울 모양을 사용하여도 무방할 것으로 판단 된다.

또한 본 논문의 강우감쇠계수 추정모델과 ITU-R 모델을 비교해 본 결과 주파수가 증가할수록 그 편차는 커지며, 이것은 이전 논문<sup>[8]</sup>에서 논의한 바와 같이 주로 빗방울의 크기 분포에 기인한다. ITU-R 모델은 밀리미터파 대역에서는 적용시킬 수 없으며 빗방울의 크기분포는 동일한 강우율에 대해서도 강우지역에 따라 다르기 때문에 각국의 강우환경에 적합한 모델을 사용하여야 한다. 본 논문의 추정모델은 국내 강우환경과 비슷한 지역에 적용시킬 수 있는 범용모델로서 국내의 측정치에 근사한 것이 아니므로 다소의 오차가 있을 수 있다. 보다 정확한 강우감쇠계수 추정을 위해서는 국내환경에서의 빗방울 크기분포 및 강우감쇠에 대한 정밀한 측정데이터가 확보되어야 하겠다.

#### 참 고 문 헌

- [1] ITU-R, "Sepecific Attenuation Model for Rain for Use in Prediction Methods," Rec. 838, 1994.
- [2] ITU-R, "Characteristics of Precipitation for Propagation Modelling," Rec. 837-1, 1994.
- [3] ITU-R, "Propagation Data and Prediction Methods Required for Design of Earth-Space Telecommunication Systems," Rec. 618-5, 1997.
- [4] D. Maggiori, "Computed Transmission through Rain in th 1-400 GHz Frequency Range for Spherical and Elliptical Drops and Any polarization," *Alta Frequenza.*, vol. L, no. 5, pp. 262-272, 1943.
- [5] H. R. Pruppacher and R. L. Pitter, "A



Semiempirical Determination of the Shape of Cloud and Rain Drops," *J. Atmospheric Sci.*, vol. 28, no. 1, pp. 86-94, 1970.

- [6] T. Oguchi, "Scattering Properties of Prupacher-and-Pitter Form Raindrops and Cross Polarization due to Rain Calculations at 11, 13, 19.3, and 34.8 GHz," *Radio Sci.*, vol. 12, no. 1, pp. 41-51, 1977.

- [7] J. A. Morrison and M. J. Cross, "Scattering of a Plane Electromagnetic Wave by Axisymmetric Raindrops," *Bell Sys. Tech. J.*, vol. 53, no. 6, pp. 955-1019, 1974.

- [8] 조삼모, 김양수, 백정기, 이성수, 김혁제, "국내 환경에 적합한 밀리미터파대역에서의 강우감쇄 추정," 한국통신학회논문지, 제 23 권, 제 7 호, pp. 1755-1763, 1998.

### 황 정 환



1998년: 충남대학교 전자공학과(공학사)  
1998년 3월~현재: 충남대학교 전파공학과 석사과정  
[주 관심분야] 전자파 전파 및 산란

### 김 영 민



1986년: 영남대학교 전자공학과(공학사)  
1995년: 동아대학교 전자공학과(공학석사)  
1995년 3월~현재: 동아대학교 전자공학과(공학박사)  
1987년 6월~1992년 9월: 삼성항공(주) 생산기술부 대리

1997년~현재: 울산기능대학 정보통신과 전임강사.

### 백 정 기



1978년: 서울대학교 전자공학과(공학사)  
1984년: Virginia Tech.(공학석사)  
1988년: Virginia Tech.(공학박사)  
1978년 3월~1983년 2월: 국방과학연구소  
1988년 10월~1989년 2월: 한국전자

통신연구원

1989년 3월~1995년 2월: 동아대학교 전자공학과  
1995년 2월~현재: 충남대학교 전파공학과 부교수  
[주 관심분야] 전자파 전파 및 산란, 초고주파 회로

### 최 용 석



1982년: 연세대학교 천문우주학과(이학사)  
1994년: 동경대학교 대학원 전파물리학과(이학박사)  
1983년~1986년: 공군 레이더 분석관(중위)

1987년 2월~현재: 한국전자통신연구원 무선방송기술연구소 선임연구원  
[주 관심분야] 전파전파 특성 예측 모델링, 위성 및 지상 밀리미터파 무선통신

### 김 양 수



1997년: 충남대학교 전자공학과(공학사)  
1999년: 충남대학교 전파공학과(공학석사)  
1999년 3월~현재: 한국전자통신연구원 무선방송기술연구소 연구원  
[주 관심분야] 전자파 전파 및 산란

### 이 주 환



1988년: 서강대학교 전자공학과(공학사)  
1999년: 충남대학교 전파공학과(공학석사)  
1990년~현재: 한국전자통신연구원 무선방송기술연구소 선임연구원  
[주 관심분야] 전파전파 특성 예측 모델링, 위성 및 지상 밀리미터파 무선통신

박 세 경



1984년: 경북대학교 전자공학과(공학사)

1999년: 충남대학교 전파공학과(공학석사)

1984년 7월~1985년 8월: (주)금성사

1985년 9월~현재: 한국전자통신연구원 무선방송기술연구소 선임연구원

[주 관심분야] 위성통신망 설계, 위성망간 간섭분석, 위성망 성능예측